

In diesem Monat

Welches Verfahren zur Bestimmung der Hörschwelle?

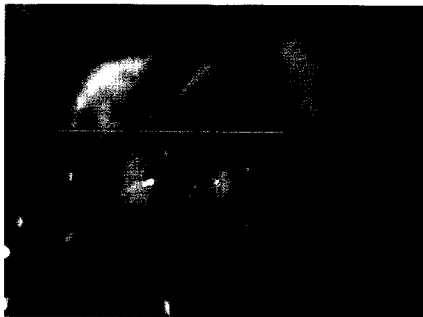
Schnelligkeit versus Genauigkeit

M. Ptok ... 395

Optische Kohärenztomographie

Auflösung im Mikrometerbereich erlaubt genaue Distanzmessung im Mittelohr

R. Heermann ... 400



Assoziation von entgiftenden Enzymen und Tumorerkrankung

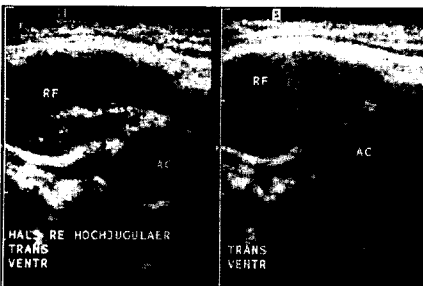
Glutathion S-Transferase und Cytochrom P450 mit metastasierenden Pharynx-tumoren assoziiert

C. Matthias ... 406

Erste Ergebnisse mit „Ensemble Tissue Harmonic Imaging“

Bessere Bildqualität im Vergleich zur B-Mode-Sonographie

G. Schade ... 413



Computertomographie der Nasennebenhöhlen

Artefaktarme Darstellung nach Sekundärrekonstruktion der Multidetektor-Computertomographie

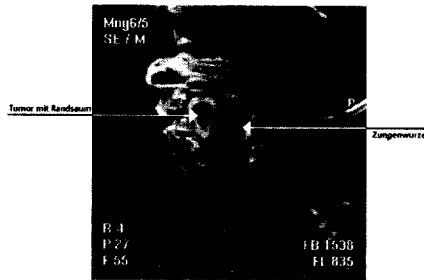
S. Lang ... 418



Infantile Myofibromatose – Zungentumor beim Säugling

Ein Fallbericht

J. Langer ... 422



Lokale Fusafunginapplikation nach Tonsillektomie

Schnellere Abheilung des Wundbettes und weniger Schmerzmittelverbrauch

N. Lukan ... 426

Was tun bei Ösophagusverätzung?

Ein Erfahrungsbericht an 169 Patienten

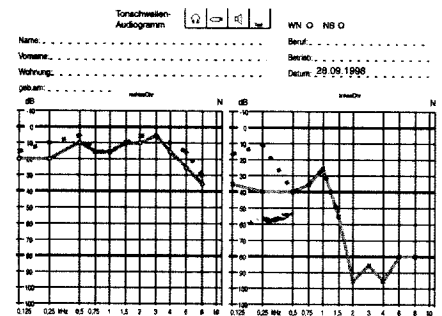
H. Heumann ... 430

Was meinen Sie?

Der interessante Fall

Differenzialdiagnose der vestibulo-cochleären Dysfunktion

D. Böger ... 434



Zur Fortbildung

Planung und Beurteilung von Therapie-studie

M. Kron ... 438